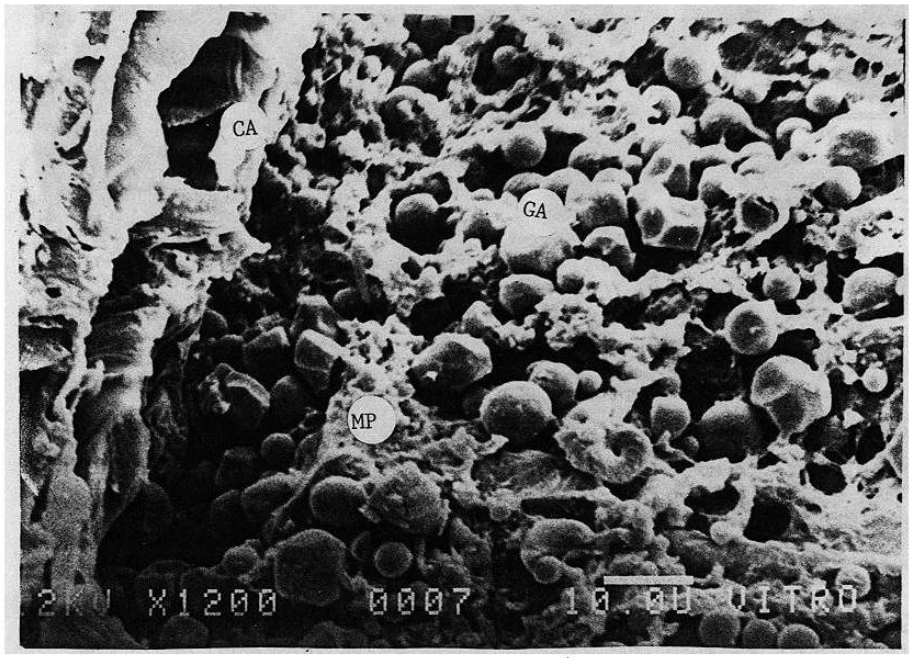

Figura No. 17. Observación al microscopio de barrido de una muestra de complejo poblacional en estado lechoso bajo condiciones de temporal sin fertilización, observandose capa de aleurona CA, endospermo córneo con gránulos de almidón en matriz proteínica.

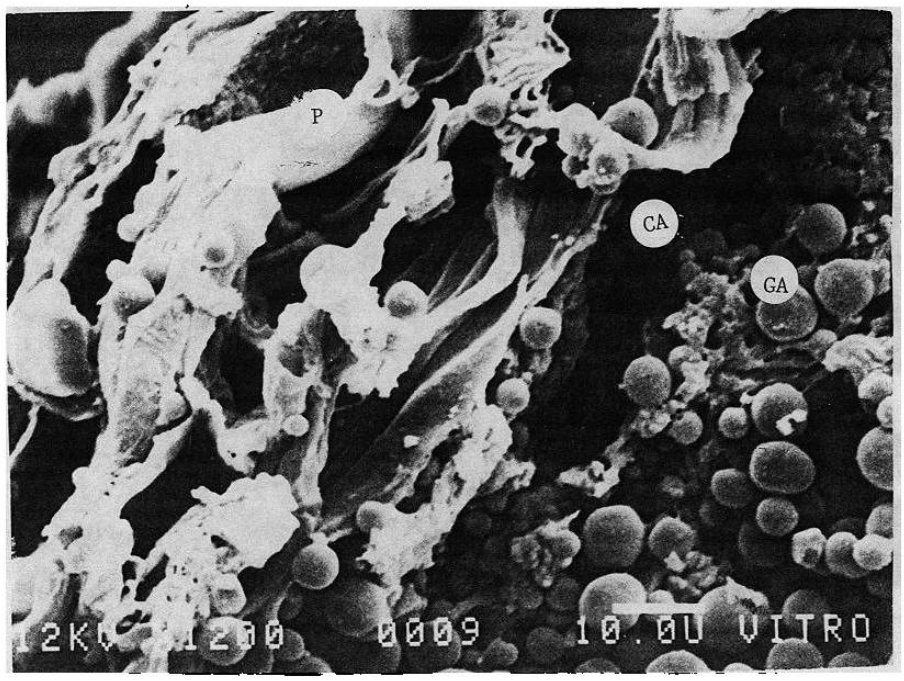

Figura No. 18. Observación al microscopio de barrido de una muestra de complejo poblacional en estado lechoso bajo condiciones de temporal sin fertilización, observandose capa de aleurona CA, endospermo córneo con gránulos de almidón en matriz proteínica.

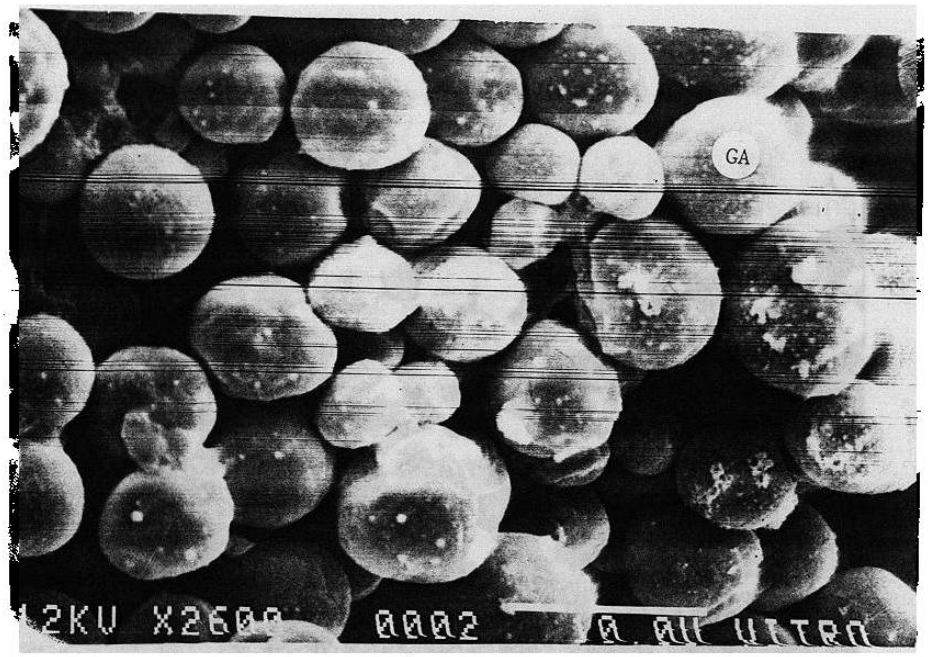

Figura No. 19. Observación al microscopio de barrido gránulos de almidón GA del complejo poblacional de temporal con fertilización en estado masoso.

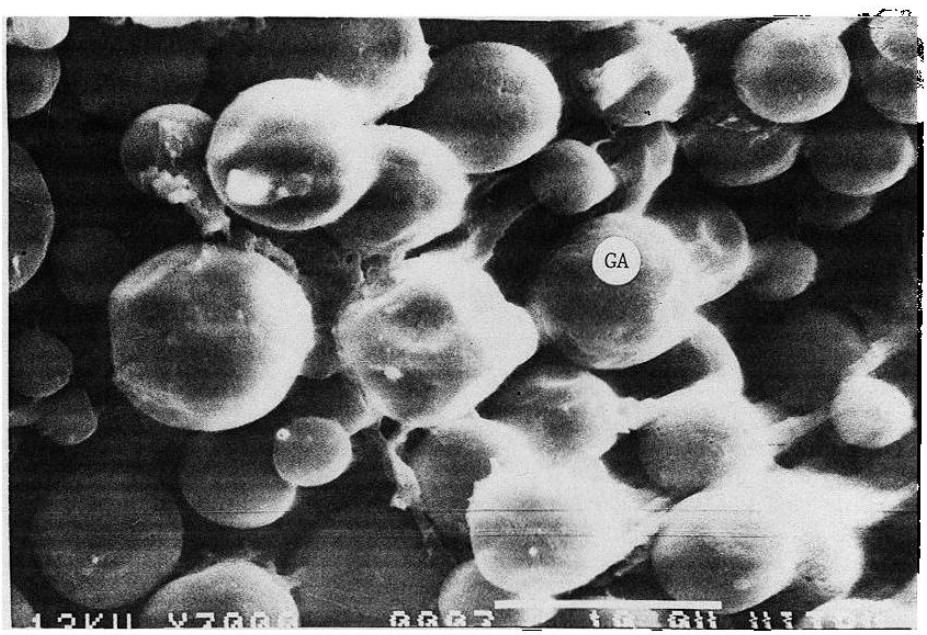

Figura No. 20. Observación al microscopio de barrido gránulos de almidón GA de tifleaf de temporal con fertilización en estado masoso.

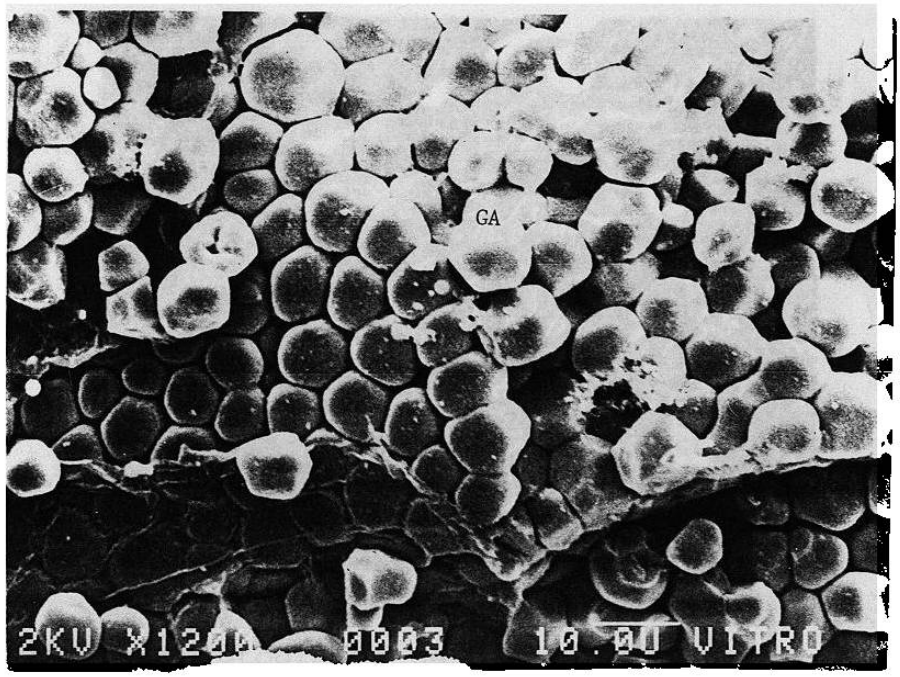

Figura No. 21. Observación al microscopio de barrido gránulos de almidón GA de tifleaf de temporal con fertilización en estado masoso.

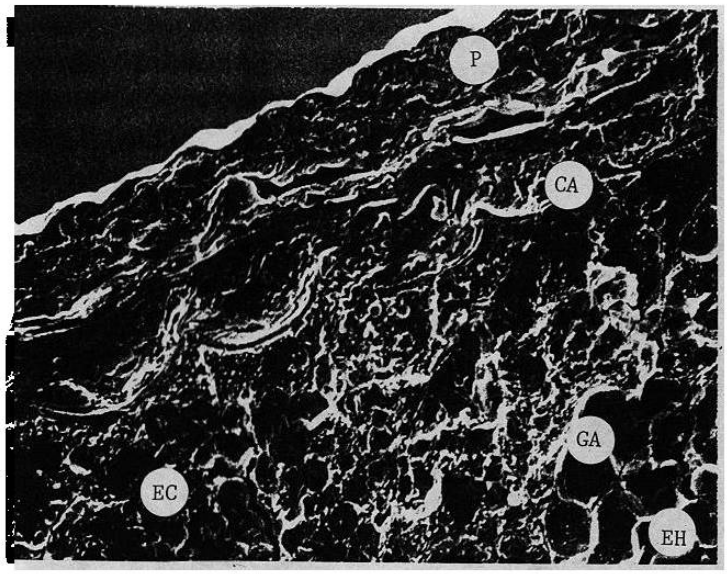

Figura Microfotografía de barrido del complejo poblacional bajo condiciones de fertilización y riego en estado maduro, mostrando las sigientes estructuras: Pericarpio P, capa de aleurona CA, endospermo córneo EC con gránulos de almidón GA y parte del endospermo harinoso EH. 700x.

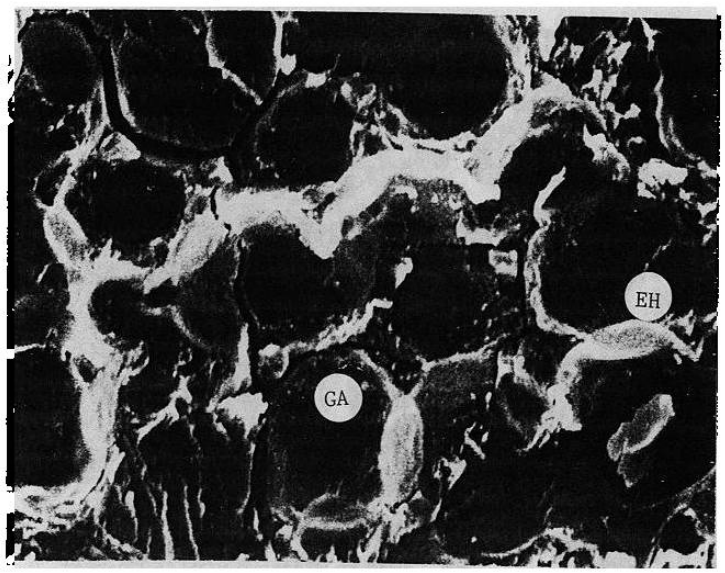

Figura No. 23. Microfotografía de barrido del complejo poblacional bajo condiciones de fertilización y riego mostrando gránulos de almidón GA en el endospermo harinoso.2000x.

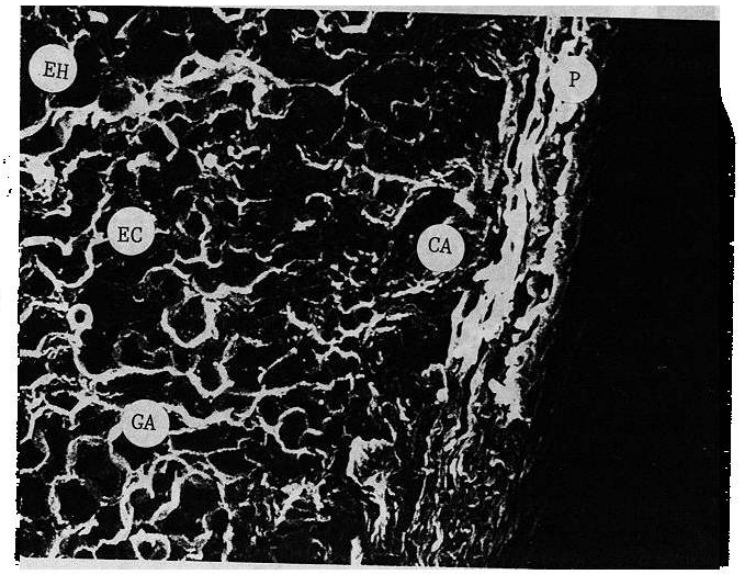

Figura No.24. Microfotografía de barrido del complejo poblacional bajo condiciones de no fertilización y riego en estado maduro, mostrando las sigientes estructuras: Pericarpio P, capa de aleurona CA, endospermo córneo EC con gránulos de almidón GA y parte del endospermo harinoso EH. 700x.

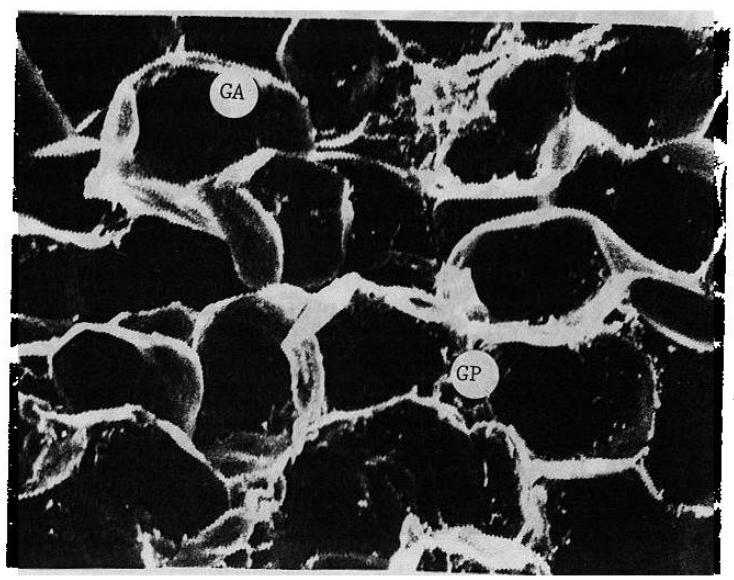

Figura No.25. Microfotografía de barrido del complejo poblacional bajo condiciones de no fertilización y riego mostrando gránulos de almidón GA, gránulos de proteína GP en el endospermo harinoso.2000x.

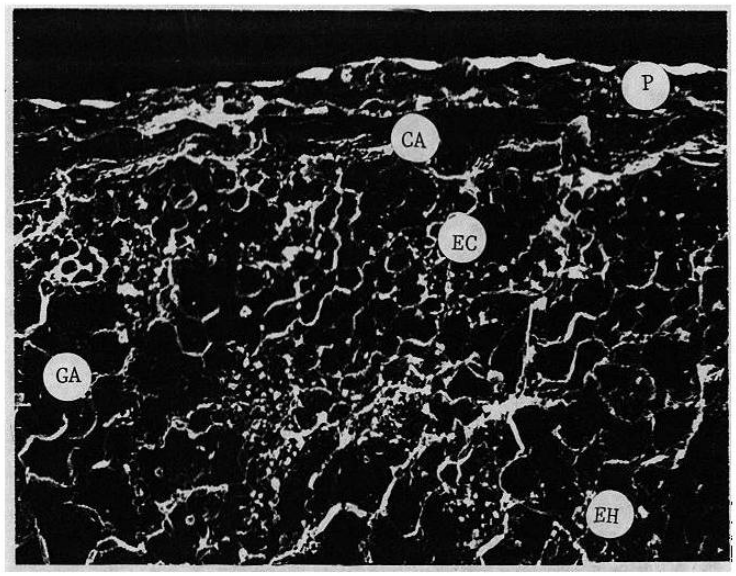

Figura No.26. Microfotografía de barrido del complejo poblacional bajo condiciones de fertilización y temporal en estado maduro, mostrando las sigientes estructuras: Pericarpio P, capa de aleurona CA, endospermo córneo EC con gránulos de almidón GA y parte del endospermo harinoso EH. 700x.

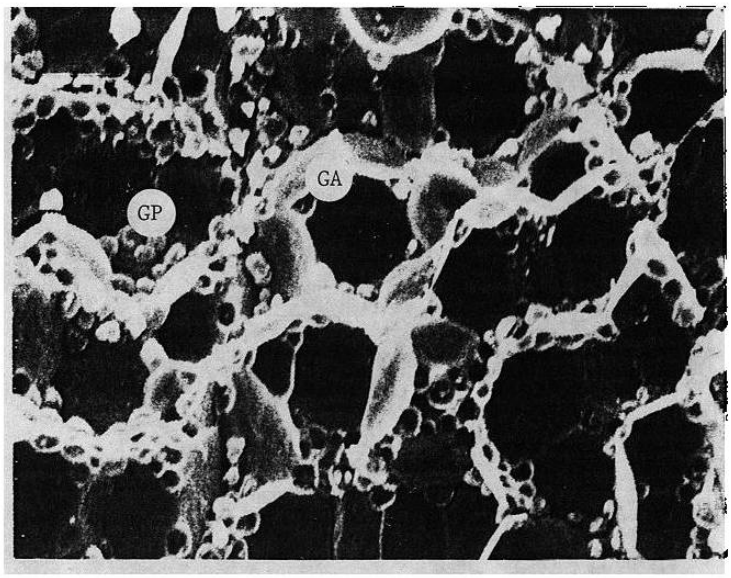

Figura No.27. Microfotografía de barrido del complejo poblacional bajo condiciones de fertilización y temporal mostrando gránulos de almidón GA, gránulos de proteína GP en el endospermo harinoso.2000x.

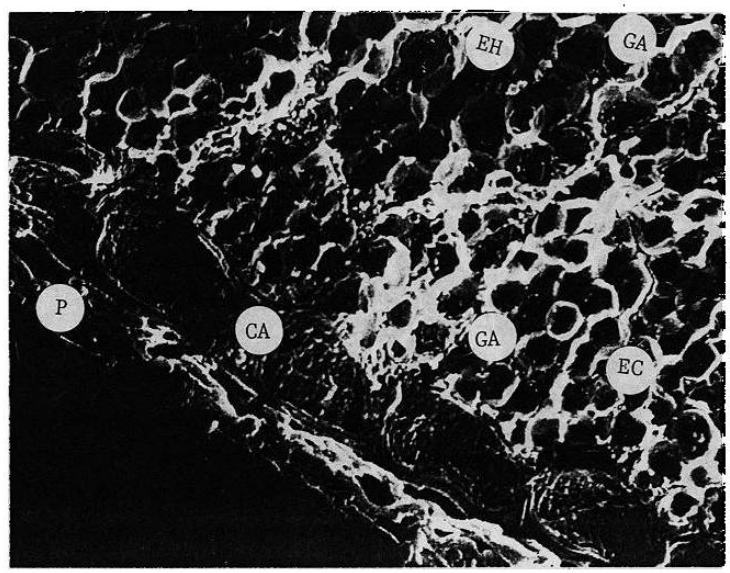

Figura No.28. Microfotografía de barrido del complejo poblacional bajo condiciones de no fertilización y temporal en estado maduro, mostrando las sigientes estructuras: Pericarpio P, capa de aleurona CA, endospermo córneo EC con gránulos de almidón GA y parte del endospermo harinoso EH. 700x.

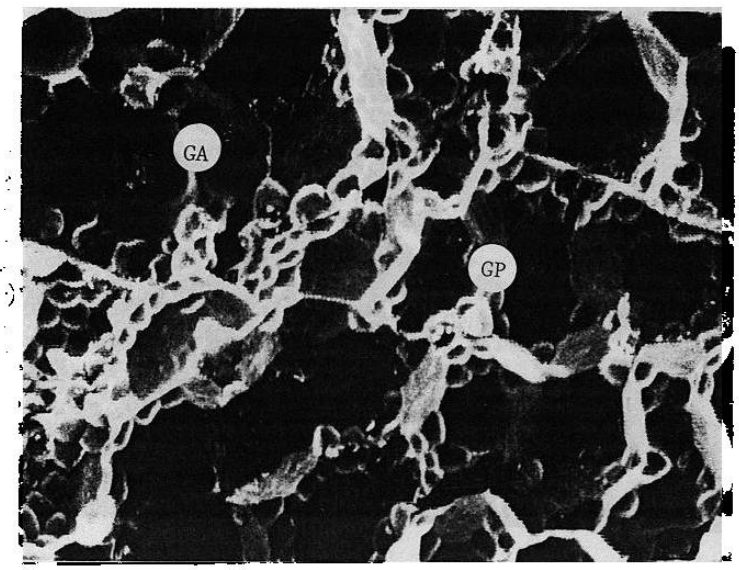

Figura No. 29. Microfotografía de barrido del complejo poblacional bajo condiciones de no fertilización y temporal mostrando gránulos de almidón GA, gránulos de proteína GP en el endospermo harinoso.2000x.

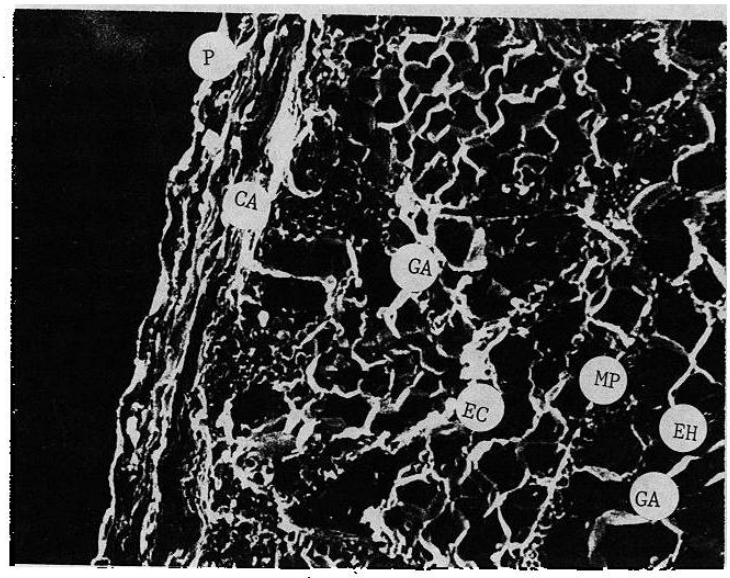

Figura No.30. Microfotografía de barrido del tifleaf bajo condiciones de fertilización y riego en estado maduro, mostrando las sigientes estructuras: Pericarpio P, capa de aleurona CA, endospermo córneo EC con gránulos de almidón GA membrana proteínica y parte del endospermo harinoso EH. 700x.

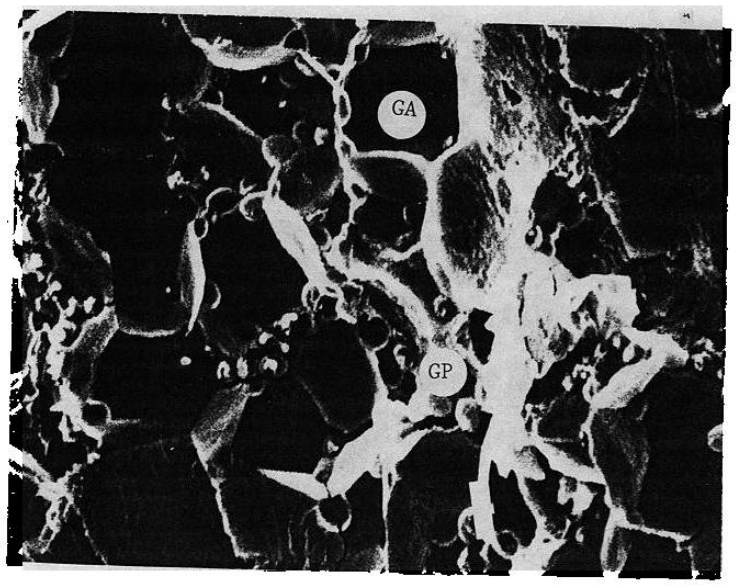

Figura No.31. Microfotografía de barrido del complejo poblacional bajo condiciones de fertilización y riego mostrando gránulos de almidón GA y gránulos de proteína GPen el endospermo harinoso.2000x.

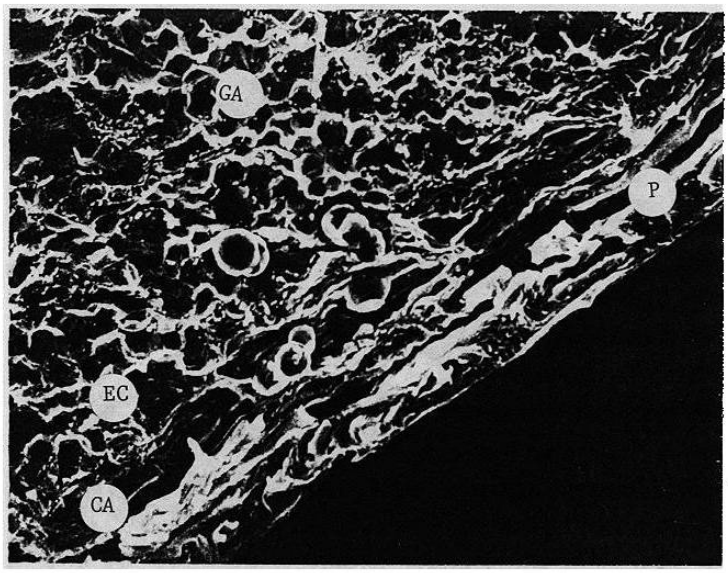

Figura No.32. Microfotografía de barrido del tifleaf bajo condiciones de no fertilización y riego en estado maduro, mostrando las sigientes estructuras: Pericarpio P, capa de aleurona CA, endospermo córneo EC con gránulos de almidón GA y parte del endospermo harinoso EH. 700x.

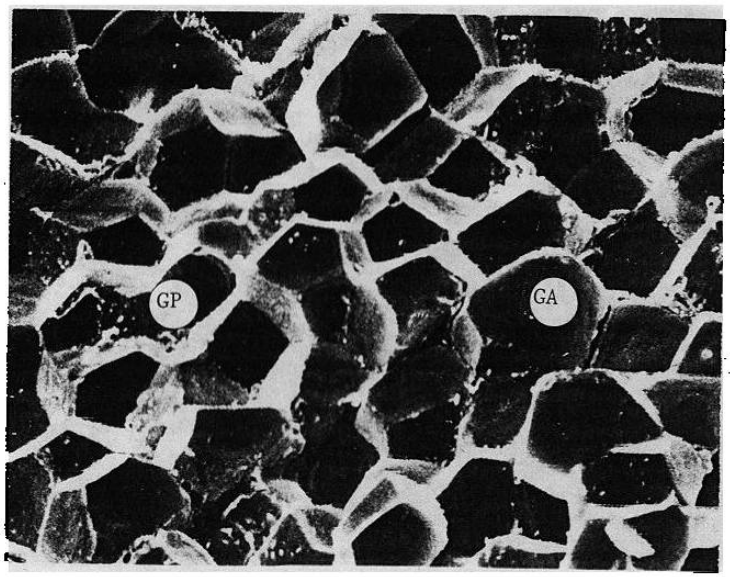

Figura No.33. Microfotografía de barrido del tifleaf bajo condiciones de no fertilización y riego mostrando gránulos de almidón GA, gránulos de proteína GP en el endospermo harinoso.2000x.

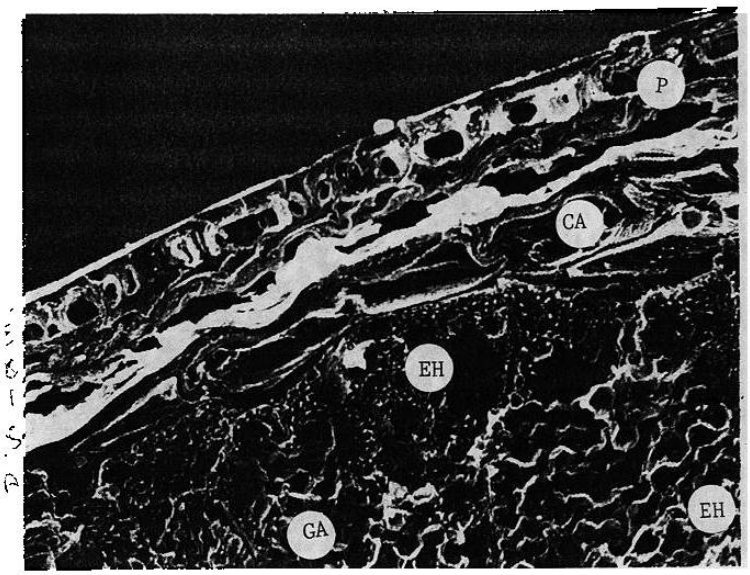

Figura No.34. Microfotografía de barrido del tifleaf bajo condiciones de fertilización y temporal en estado maduro, mostrando las sigientes estructuras: Pericarpio P, capa de aleurona CA, endospermo córneo EC con gránulos de almidón GA y parte del endospermo harinoso EH. 700x.

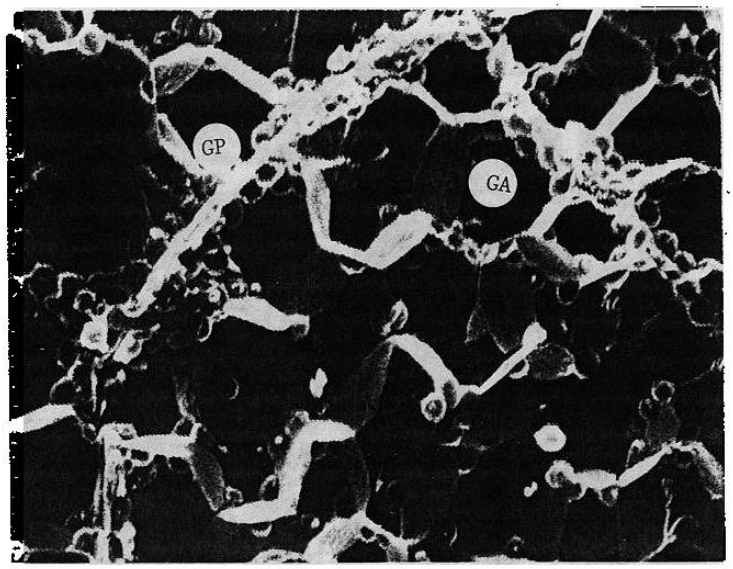

Figura No.35. Microfotografía de barrido del tifleaf bajo condiciones de fertilización y temporal mostrando gránulos de almidón GA, gránulos de proteína GP en el endospermo harinoso.2000x.

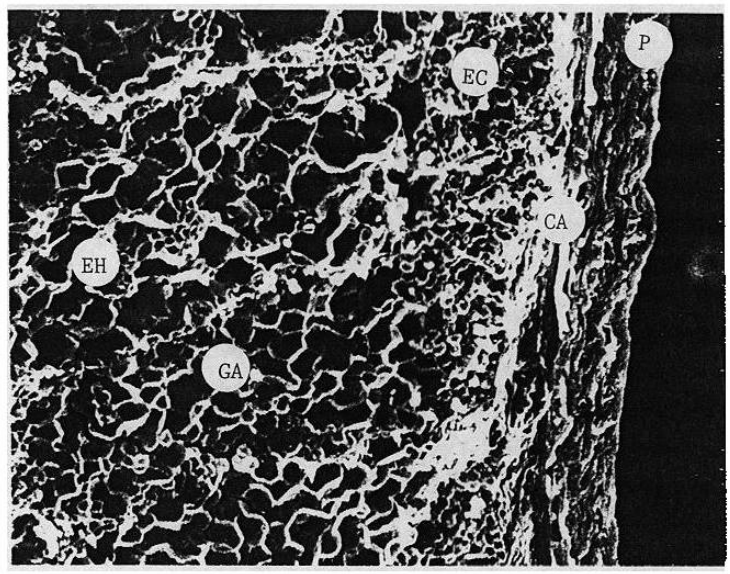

Figura No.36. Microfotografía de barrido del tifleaf bajo condiciones de no fertilización y temporal en estado maduro, mostrando las sigientes estructuras: Pericarpio P, capa de aleurona CA, endospermo córneo EC con gránulos de almidón GA y parte del endospermo harinoso EH. 700x.

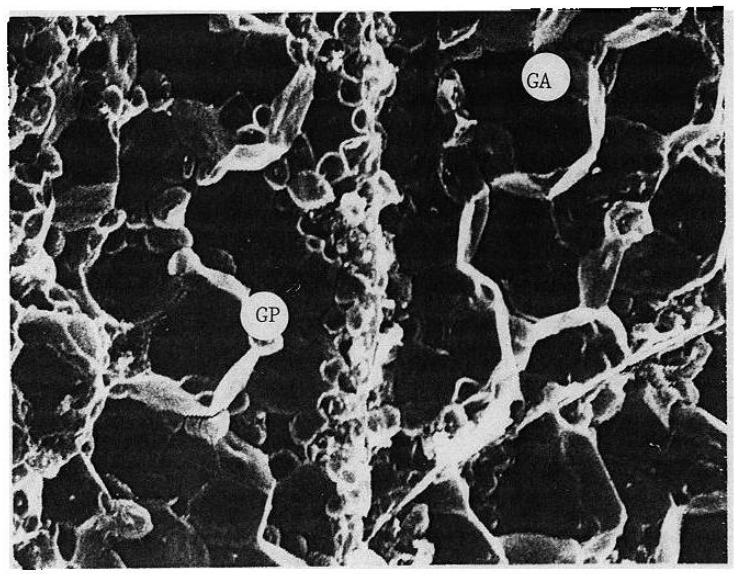

Figura No. 37. Microfotografía de barrido del tifleaf bajo condiciones de no fertilización y temporal mostrando gránulos de almidón GA, gránulos de proteína GP en el endospermo harinoso.2000x.